

РЕАКЦИЯ НАСЕЛЕНИЯ БЕСПОЗВОНОЧНЫХ ОСТЕПНЕННЫХ И ПОЙМЕННЫХ ЛУГОВ НА ВЫБРОСЫ КАРАБАШСКОГО МЕДЕПЛАВИЛЬНОГО ЗАВОДА

© 2023 г. А. В. Нестерков^a, *, Д. В. Нестеркова^a

^aИнститут экологии растений и животных УрО РАН, Россия 620144 Екатеринбург, ул. 8 Марта, 202

*e-mail: nesterkov@ipae.uran.ru

Поступила в редакцию 06.04.2023 г.

После доработки 03.06.2023 г.

Принята к публикации 18.07.2023 г.

По материалам 2014 г. оценена реакция сообществ беспозвоночных пойменных и оstepненных лугов на выбросы Карабашского медеплавильного завода (основные поллютанты – SO₂ и тяжелые металлы). Вблизи завода в фитоценозах лугов обоих типов снижается фитомасса разнотравья (в 2–7 раз) и возрастает доля граминеидов (с 36–45 до 53–85%). Обилие беспозвоночных на лугах обоих типов меняется сходно: общее обилие снижается (в 1.4–2.9 раза), тогда как обилие всех трофических и большей части крупных таксономических групп не изменяется. Таксономическая структура беспозвоночных на пойменных лугах изменялась только в импактной зоне, а на оstepненных – уже в буферной. Этот результат частично подтверждает выдвинутую гипотезу о том, что в сообществах пойменных лугов реакция на загрязнение выражена слабее, чем в оstepненных.

Ключевые слова: фитофаги, зоофаги, цикадовые, пауки, двукрылые, фитомасса, техногенное загрязнение, тяжелые металлы, сернистый ангидрид

DOI: 10.31857/S0367059723060057, **EDN:** BLQOER

Население беспозвоночных яруса травостоя характеризуется высоким обилием и таксономическим богатством, в том числе из-за присутствия в нем элементов большинства других наземных ярусов. Тесная связь с травянистой растительностью, характерная для представителей яруса хотя бы на отдельных этапах жизненного цикла [1], дает возможность чутко реагировать даже на слабые стрессовые воздействия. Это позволяет рассматривать население травостоя как индикатор состояния сообществ беспозвоночных в целом.

Реакция природных сообществ беспозвоночных травостоя на техногенное загрязнение исследована чрезвычайно фрагментарно. Большая часть работ по этой теме выполнена нами в зоне действия Среднеуральского медеплавильного завода (СУМЗ) на Среднем Урале [2–4], прочие исследования, включая зарубежные, единичны и посвящены накоплению металлов [5] или источникам загрязнения другого типа [6]. Совершенно не изучено население луговых беспозвоночных вблизи других крупных точечных источников, в том числе Карабашского медеплавильного завода (КМЗ), окрестности которого в 1996 г. были признаны зоной экологического бедствия [7].

В зоне действия КМЗ широко представлены первичные луга двух типов, различающихся ре-

жимом увлажнения и обусловленной этим структурой фитоценозов: пойменные (в низинах) и оstepненные (на возвышенных элементах рельефа). Режим увлажнения, вероятно, способен существенно модифицировать реакцию сообществ беспозвоночных на загрязнение. Известно, что в аридных экосистемах именно доступность воды – основной лимитирующий фактор роста и развития растений [8, 9] и важный фактор для сообществ беспозвоночных [10, 11]. На оstepненных участках с разреженной архитектурой травостоя режим увлажнения может иметь даже большее значение, чем состав и структура травянистого яруса [12]. Следовательно, недостаточное увлажнение может выступать дополнительным стрессором, усиливающим воздействие поллютантов как на растения, так и на беспозвоночных [13, 14].

Пойменные луга – экосистемы с высоким уровнем увлажнения – проявляют определенную специфику в условиях техногенного загрязнения. Накопление и распределение тяжелых металлов в поймах рек связано с промывным режимом, при котором поллютанты агрегируются с мелкодисперсным органическим осадком и активно переносятся по руслу [15]. Однако сведения о дальнейшем влиянии поллютантов на пойменные экосистемы противоречивы. С одной стороны,

именно пойменные луга могут выступать для переносимых по руслу токсикантов в качестве “ловушек”, в которых происходит осаждение и накопление токсичного осадка [15]. С другой, высокое содержание органики в осадке может снизить биодоступность тяжелых металлов [16]; кроме того, в присутствии свободных ионов (например, при закислении водоемов выбросами медеплавильного производства) металлы активнее сорбируются органическим материалом [15]. Действительно, в большинстве случаев в условиях пойменных лугов высокие концентрации металлов не оказывают влияния на структурные и функциональные параметры сообществ растений и разных групп беспозвоночных [17, 18].

Цель настоящей работы – изучить реакцию на техногенное загрязнение населения беспозвоночных двух типов первичных лугов, различающихся по режиму увлажнения. Поставлены следующие задачи: 1) исследовать состояние среды обитания беспозвоночных (проанализировав изменение фитомассы основных фракций травостоя рассматриваемых лугов); 2) изучить изменение обилия беспозвоночных (общего, основных трофических и наиболее крупных таксономических групп); 3) провести первичный анализ изменения таксономической структуры сообществ (на уровне обилия всех представленных семейств). Мы проверяем гипотезу о том, что в сообществах пойменных лугов реакция на загрязнение выражена слабее, чем в остепненных.

МАТЕРИАЛ И МЕТОДИКА

Работа выполнена в районе Карабашского медеплавильного завода (КМЗ, ЗАО “Карабашмедь”), расположенного на территории г. Карабаш (Южный Урал, Челябинская обл.) и являющегося одним из крупнейших источников промышленного загрязнения в России. Завод был запущен в 1907 г., в 1989 г. производство было остановлено, а в 1998 г. возобновилось одновременно с началом модернизации. Общая масса выбросов в атмосферу КМЗ за период 1907–2004 гг. составила 14.3 млн т; на пике производства в 1970–1980 гг. выбросы достигали 210–290 тыс. т/год. Основной компонент выбросов – сернистый ангидрид, среди тяжелых металлов преобладают Zn, Pb, Cu, As. К настоящему времени уровень выбросов снижен до 5 тыс. т/год.

КМЗ расположен в облесенной, наименее возведенной (300–600 м над ур. м.) части низкогорий Южного Урала, в подзоне предлесостепенных сосново-березовых лесов. Климат умеренно континентальный со средней температурой января -12.5°C , июля $+19.4^{\circ}\text{C}$, среднегодовым количеством осадков 540 мм. В 2014 г. выпало в среднем 512 мм осадков, из них в июне – 63 мм, июле – 160.5 мм,

августе – 17 мм; средняя температура июня составила $+16.4^{\circ}\text{C}$, июля $+14.4^{\circ}\text{C}$, августа $+17.6^{\circ}\text{C}$.

Ключевые участки расположены в двух направлениях от КМЗ: северо-восточном (СВ) и южном (Ю) на первичных лугах размером 5–20 тыс. м², сформировавшихся в поймах малых рек (Сак-Элга, Тыелга и Большая Таловка) и на возвышенных элементах рельефа (южный склон, до 600 м над ур. м.). Участки распределены по трем зонам загрязнения: импактной (сильное загрязнение, 6 км СВ и 4 км Ю от КМЗ), буферной (слабое загрязнение, 14 км Ю) и фоновой (загрязнение на уровне регионального фона, 30 км Ю). Выбор направления СВ обусловлен отсутствием остепненных участков в импактной зоне к югу от завода. Границы зон загрязнения установлены на основе геоботанических описаний и определения содержания тяжелых металлов в лесной подстилке [19, 20]. Во флористическом составе луговой растительности всех зон загрязнения доминируют граминоиды – злаки и осоки. На пойменных лугах фоновой и буферной зон преобладает *Carex caespitosa* L., в импактной зоне ее замещает *Deschampsia cespitosa* (L.) P. Beauv. На остепненных лугах во всех зонах доминирует *Stipa pennata* L., в импактной зоне в число доминантов также входит *Echinops ruthenicus* Rochel. На остепненных лугах импактной зоны травостой значительно разрежен, имеются девегетированные участки. Все пойменные луговые участки в конце июня были частично выкошены; тур учетов в августе был приурочен к невыкошенной части лугов. Выпас скота повсеместно отсутствовал.

Беспозвоночные травостоя собраны с помощью модифицированного биоценометра Конакова–Онисимовой (площадь основания 0.25 м²) и портативного пылесоса с автономным источником питания. Каждая проба – результат однократной установки биоценометра с последующим сбором пылесосом всех попавших в него беспозвоночных и срезанием на уровне почвы всех травянистых растений. Исследование проведено в 2014 г. в два тура учетов, приуроченных ко второй половине июня (1-й тур) и августа (2-й тур). Пробные площади размером 25 × 25 м, по три в каждом типе луга, были расположены на расстоянии около 100 м друг от друга и удалены от границы леса. Конструкция биоценометра [21], а также методика и порядок сбора проб [2] подробно описаны ранее.

Объем выборки составил по 10 проб на пробную площадь за тур учета. Таким образом, всего было собрано 360 проб материала (10 проб × 3 пробные площади × 2 типа лугов × 3 зоны загрязнения × 2 тура учетов) и более 23400 экз. беспозвоночных. Для растений с точностью 0.1 г измерили общую воздушно-сухую массу и массу двух фракций – гра-

миноидов (злаки, осоки и ситниковые) и разнотравья.

В лабораторных условиях установили таксономическую принадлежность (до уровня семейств) и трофическую специализацию беспозвоночных. Всего рассмотрено 6 трофических групп: сосущие фитофаги, грызущие фитофаги, сосущие зоофаги, грызущие зоофаги, гемофаги и прочие (см. табл. S1).

Вся обработка данных выполнена в программной среде R [22]. В пределах каждого типа луга в каждой зоне загрязнения были рассчитаны среднее и стандартная ошибка (2 тура \times 3 пробные площади; $n = 6$) для общей фитомассы и ее фракций, общего обилия, обилия основных трофических и наиболее крупных таксономических групп (табл. 1), а также обилия всех выявленных семейств (см. табл. S1). Для общей фитомассы и общего обилия беспозвоночных выполнен анализ влияния факторов “зона загрязнения”, “тип луга” и “тур учетов” на основе обобщенных линейных моделей (glm) в пакете car [23]. Для каждой пары факторов “зона загрязнения” и “тип луга” выполнен анализ влияния на фитомассу (общую и фракций) и обилие (общее, трофических и крупных таксономических групп) на основе обобщенных линейных моделей со смешанными эффектами (glmer): фиксированные факторы – зона загрязнения и тип луга, случайный фактор – пробная площадь; использован пакет LMERConvenienceFunctions [24]. На основе полученных результатов реализованы множественные сравнения с помощью критерия Тьюки в пакете multcomp [25]. Для фитомассы (общей и фракций) и обилия (общего, трофических и крупных таксономических групп) рассчитан размер эффекта техногенного загрязнения в буферной и импактной зонах относительно фоновой. Использован натуральный логарифм отношения откликов в варианте несмещенной оценки, предложенной для малых выборок и близких к нулю значений (LRR^A) в пакете SingleCaseES [26].

Стандартизованный индекс сухости (SPEI) рассчитан в пакете SPEI [27] для набора значений среднемесячной температуры воздуха и суммарного месячного количества осадков с января 1936 г. по декабрь 2015 г. по данным метеостанции г. Челябинска (WMO ID 28630, [28]), результаты визуализированы в пакете ggplot2 [29]. Индекс SPEI предназначен для учета соотношения осадков и потенциальной эвапотранспирации на любой территории в глобальном масштабе; значения индекса можно существенно уточнить при использовании данных местных метеорологических наблюдений за достаточно протяженный период (30–50 лет и более). Индекс позволяет оценить условия увлажнения в интересующий период (с точностью до месяца) по отношению к

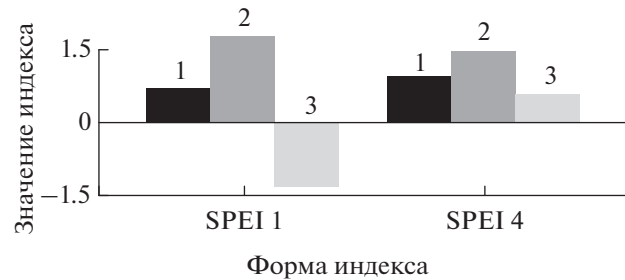


Рис. 1. Индекс SPEI в 2014 г.: SPEI 1 – рассчитан для каждого из летних месяцев: 1 – июнь, 2 – июль, 3 – август; SPEI 4 – суммарно для четырех месяцев (указанного и трех предшествующих). Значения SPEI выше 1.5 соответствуют избыточному увлажнению, ниже –1.5 засухе.

многолетнему среднему; значения SPEI выше 1.5 соответствуют избыточному увлажнению, ниже –1.5 засухе.

Для анализа таксономической структуры сообществ беспозвоночных (на уровне списка всех выявленных семейств со значениями обилия) в пакете pvclust [30] построена дендрограмма методом Варда на основе матрицы индексов несходства Брея–Кертиса. Достоверность расчета чисел поддержки (AU) определена с помощью перестановочных тестов (100 тыс. перестановок).

РЕЗУЛЬТАТЫ

Расчет индекса сухости SPEI показал, что июль 2014 г. был несколько переувлажнен по отношению к многолетнему среднему, однако суммарное количество осадков за весенний и летний периоды не выходило за пределы почти 80-летней нормы (рис. 1).

Реакция лугового травостоя на загрязнение. Общая фитомасса лугового травостоя различается на лугах разного типа ($p < 0.001$), в разных зонах загрязнения ($p = 0.048$) и между турнами учетов ($p = 0.009$). Взаимодействие факторов “тип луга” и “зона” незначимо ($p = 0.529$); прочие взаимодействия значимы. Общая фитомасса травостоя на пойменных лугах выше, чем на оステненных: в фоновой и буферной зонах – в 1.6–1.7 раза, в импактной – в 2.3 раза. В градиенте загрязнения общая фитомасса сходна в пределах лугов одного типа, хотя в импактной зоне на оステненных лугах она имеет тенденцию к снижению (табл. 1, 2).

Фитомасса граминоидов на пойменных лугах также выше, чем на оステненных: в фоновой и буферной зонах – в 2.5–2.8 раза, в импактной – в 4.4 раза. В градиенте загрязнения в пределах лугов одного типа фитомасса граминоидов сходна, хотя на пойменных лугах демонстрирует явную тенденцию к увеличению (см. табл. 1, 2).

Таблица 1. Обилие беспозвоночных ($\text{экз}/\text{м}^2$) и фитомасса растений ($\text{г}/\text{м}^2$) в травостое исследуемых лугов

Трофическая группа/ Фракция фитомассы	Зона загрязнения и тип луга					
	фоновая		буферная		импактная	
	остепненный	пойменный	остепненный	пойменный	остепненный	пойменный
Беспозвоночные						
Общее обилие	154.0 ± 17.12 ^a	293.47 ± 24.56 ^b	191.27 ± 24.16 ^a	203.13 ± 15.16 ^a	65.07 ± 6.36 ^a	215.33 ± 25.16 ^b
Фитофаг сосущий:	100.27 ± 16.20 ^a	177.73 ± 25.76 ^a	106.73 ± 15.12 ^a	125.93 ± 10.80 ^a	49.0 ± 5.92 ^a	150.47 ± 23.56 ^b
Cicadinea phytophaga	44.60 ± 8.68 ^a	119.60 ± 22.40 ^b	71.20 ± 9.20 ^a	69.07 ± 6.40 ^a	34.13 ± 6.68 ^a	100.27 ± 21.88 ^b
Heteroptera	11.40 ± 0.60 ^a	7.53 ± 1.60 ^a	5.73 ± 0.96 ^a	3.67 ± 1.36 ^a	3.0 ± 0.68 ^a	6.93 ± 3.28 ^a
Diptera Brachycera	39.33 ± 8.64 ^a	42.60 ± 4.36 ^a	24.20 ± 7.72 ^a	37.07 ± 5.92 ^a	7.53 ± 0.72 ^a	31.60 ± 3.80 ^b
Фитофаг грызущий:	13.0 ± 2.64 ^a	29.40 ± 2.04 ^a	32.80 ± 7.16 ^a	28.53 ± 1.52 ^a	3.73 ± 1.40 ^a	26.07 ± 6.16 ^a
Coleoptera phytophaga	1.40 ± 0.32 ^a	1.0 ± 0.24 ^a	1.07 ± 0.20 ^a	0.53 ± 0.20 ^a	0.27 ± 0.08 ^a	0.33 ± 0.12 ^a
Diptera Nematocera	9.47 ± 2.32 ^a	22.40 ± 1.84 ^a	28.33 ± 6.68 ^a	24.73 ± 2.36 ^a	3.13 ± 1.36 ^a	24.20 ± 6.20 ^b
Gastropoda	—	4.20 ± 1.0	—	2.40 ± 1.04	—	—
Зоофаг сосущий:	6.33 ± 1.60 ^a	26.20 ± 3.88 ^a	19.60 ± 3.92 ^a	16.13 ± 3.0 ^a	4.07 ± 0.92 ^a	17.80 ± 1.40 ^a
Heteroptera zoophaga	1.80 ± 0.84 ^a	4.07 ± 1.0 ^a	1.27 ± 0.32 ^a	0.47 ± 0.12 ^a	1.27 ± 0.28 ^a	0.20 ± 0.12 ^a
Aranei	4.53 ± 1.04 ^a	22.07 ± 3.60 ^b	18.33 ± 3.72 ^a	15.67 ± 3.0 ^a	2.47 ± 0.64 ^a	17.60 ± 1.48 ^b
Зоофаг грызущий:	1.27 ± 0.24 ^a	1.33 ± 0.60 ^a	1.60 ± 0.48 ^a	0.20 ± 0.12 ^a	0.40 ± 0.24 ^a	0.47 ± 0.20 ^a
Coleoptera zoophaga	1.13 ± 0.20 ^a	0.73 ± 0.36 ^a	1.40 ± 0.36 ^a	0.20 ± 0.12 ^a	0.33 ± 0.24 ^a	0.47 ± 0.20 ^a
Opiliones	—	0.20 ± 0.12	—	—	—	—
Гемофаг	12.13 ± 6.32 ^a	35.30 ± 14.3 ^b	11.0 ± 3.20 ^a	19.27 ± 4.20 ^a	0.27 ± 0.08 ^a	9.47 ± 2.04 ^a
Прочие группы	21.0 ± 4.04 ^a	23.50 ± 3.40 ^a	19.53 ± 4.88 ^a	13.07 ± 0.48 ^a	7.60 ± 0.56 ^a	11.07 ± 1.16 ^a
Травянистые растения						
Общая фитомасса	60.81 ± 6.83 ^a	94.75 ± 5.83 ^b	58.33 ± 7.06 ^a	96.55 ± 9.95 ^b	37.79 ± 4.64 ^a	87.76 ± 24.53 ^b
Граминоиды	22.52 ± 3.20 ^a	55.26 ± 11.95 ^b	21.27 ± 3.53 ^a	59.44 ± 12.83 ^b	18.65 ± 3.34 ^a	81.76 ± 25.57 ^b
Разнотравье	38.28 ± 4.13 ^a	39.49 ± 7.39 ^a	37.07 ± 4.43 ^a	37.11 ± 4.86 ^a	19.13 ± 2.29 ^a	6.0 ± 2.33 ^b
Доля граминеидов, %	37.23 ± 3.18 ^a	45.27 ± 8.25 ^b	35.81 ± 3.36 ^a	45.28 ± 8.0 ^b	53.37 ± 4.39 ^a	85.04 ± 4.61 ^b

Примечание. Учетная единица — пробная площадь. Приведено среднее ± стандартная ошибка для выборки из 3 пробных площадей × 2 тура учетов ($n = 6$). Прочерк — отсутствие группы. Буквенные надстрочные знаки — результаты множественных сравнений; одинаковые буквы означают отсутствие различий между оstepненным и пойменным лугами для рассматриваемой группы в пределах зоны загрязнения.

Фитомасса разнотравья в фоновой и буферной зонах сходна на лугах разных типов, в импактной выше на оstepненных лугах (в 3.2 раза). В градиенте загрязнения фитомасса разнотравья изменяется однотипно на пойменных и оstepненных лугах: в фоновой и буферной зонах сходна, в импактной — снижена (в 6.6 и 2.0 раза соответственно, см. табл. 1, 2).

Доля граминеидов в общей фитомассе во всех зонах на пойменных лугах выше, чем на оstepненных: в фоновой и буферной — в 1.2–1.3 раза, в импактной — в 1.6 раза. С приближением к заводу доля граминеидов изменяется однотипно на пойменных и оstepненных лугах: в фоновой и буферной зонах сходна, в импактной — увеличена (в 1.9 и 1.4 раза соответственно, см. табл. 1, 2).

Эффект техногенного загрязнения в буферной зоне отсутствует как для общей фитомассы, так и для фитомассы фракций (рис. 2). В импактной зоне выявлен отрицательный эффект для общей фитомассы на оstepненном лугу и для фитомассы разнотравья на лугах обоих типов.

Реакция беспозвоночных травостоя на загрязнение. Общее обилие беспозвоночных различается на лугах разных типов ($p < 0.001$), в разных зонах загрязнения ($p < 0.001$), но не подвержено влиянию турита учета ($p = 0.187$). При этом все варианты взаимодействия перечисленных факторов влияют на обилие значимо ($p < 0.001$). На пойменных лугах общее обилие в целом выше, чем на оstepненных: в фоновой зоне — в 1.9 раза, в импактной — в 3.3 раза; в буферной зоне обилие не различается — как общее, так и для всех групп.

Таблица 2. Результаты множественных сравнений для обилия групп беспозвоночных травостоя и фитомассы фракций травянистой растительности между зонами загрязнения в пределах одного типа лугов

Трофическая группа/ Фракция фитомассы	Пары зон загрязнения и тип луга					
	фоновая–буферная		буферная–импактная		фоновая–импактная	
	остепненный	пойменный	остепненный	пойменный	остепненный	пойменный
Беспозвоночные						
Общее обилие	0.134	<0.001	<0.001	0.977	<0.001	<0.001
Фитофаг сосущий:	1.0	0.452	0.062	0.945	0.116	0.940
Cicadinea	0.031	<0.001	<0.001	0.039	0.695	0.594
Heteroptera phytophaga	0.561	0.730	0.872	0.828	0.114	1.0
Diptera Brachycera	0.184	0.973	0.008	0.964	<0.001	0.614
Фитофаг грызущий:	0.493	1.0	0.132	1.0	0.771	1.0
Coleoptera phytophaga	1.0	0.997	0.968	1.0	0.926	0.984
Diptera Nematocera	0.004	0.998	<0.001	1.0	0.281	0.999
Gastropoda	—	0.942	—	—	—	—
Зоофаг сосущий:	0.485	0.880	0.306	1.0	0.996	0.945
Heteroptera zoophaga	0.999	0.492	1.0	0.999	0.999	0.563
Aranei	0.012	0.786	0.004	0.998	0.929	0.950
Зоофаг грызущий:	1.0	0.982	0.983	1.0	0.993	0.994
Coleoptera zoophaga	1.0	0.988	0.939	0.999	0.972	1.0
Гемофаг	1.0	0.076	0.157	0.209	0.136	<0.001
Прочие группы	1.0	0.293	0.072	0.996	0.037	0.114
Травянистые растения						
Общая фитомасса	1.0	1.0	0.108	0.968	0.054	0.988
Граминоиды	1.0	0.997	0.996	0.188	0.976	0.061
Разнотравье	1.0	0.999	0.043	<0.001	0.027	<0.001
Доля граминоидов	1.0	0.995	0.018	<0.001	0.034	<0.001

Примечание. Приведены уровни значимости (*p*) для выборки из 3 пробных площадей × 2 тура учетов (*n* = 6). Прочерк означает отсутствие группы.

С приближением к источнику загрязнения общее обилие снижается как на пойменных лугах (в 1.4 раза, сходно в буферной и импактной зонах), так и на остепненных (2.9 раза в импактной зоне, сходно в фоновой и буферной) (см. табл. 1, 2). Эффект загрязнения на уровне общего обилия был отрицательным, кроме остепненных лугов в буферной зоне, где отмечена незначимая положительная тенденция (рис. 3).

Обилие трофических и крупных таксономических групп. Высокое обилие на пойменных лугах в фоновой зоне обусловлено цикадовыми (в 2.7 раза выше, чем на остепненных), пауками (в 4.9 раза) и группой гемофагов (в 2.9 раза). В импактной зоне на пойменных лугах обильны сосущие фитофаги (обилие в 3.1 раза выше, чем на остепненных), и в их составе – цикадовые (выше в 2.9 раза), короткоусые двукрылые-фитофаги (в 4.2 раза), кроме того – длинноусые двукрылые-фитофаги (в 7.7 раза) и пауки (в 7.1 раза) (см. табл. 1, 2). С приближением к заводу обилие рассмотренных групп демонстрирует раз-

личные тренды на лугах разных типов. На пойменных лугах обилие цикадовых сначала снижается (в буферной зоне – в 1.7 раза), а затем, в импактной зоне, увеличивается до фоновых значений. На остепненных лугах обилие цикадовых в буферной зоне, напротив, увеличивается в 1.6 раза, а в импактной зоне снижается до фонового уровня. Обилие короткоусых двукрылых-фитофагов на пойменных лугах было сходно во всем градиенте загрязнения, на остепненных – в фоновой и буферной зонах сходно, а в импактной снижено в 5.2 раза. Обилие длинноусых двукрылых-фитофагов на пойменных лугах также было сходно во всех зонах, тогда как на остепненных в буферной зоне увеличено в 3.0 раза, а в импактной снижено в 3.0 раза. Аналогичная тенденция отмечена у пауков (обилие на остепненных лугах в буферной зоне увеличено в 4.0 раза, в импактной – снижено в 1.8 раза).

Эффект загрязнения для большей части рассмотренных трофических и таксономических групп отсутствовал или был отрицательным (см.

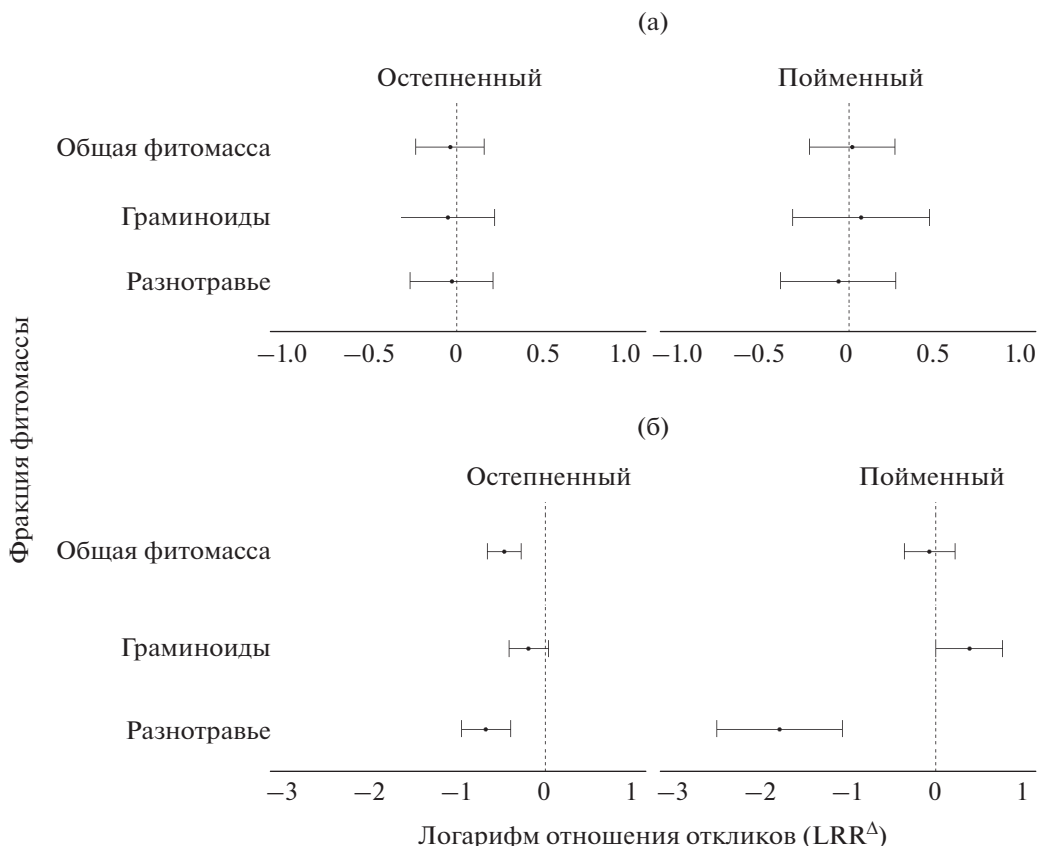


Рис. 2. Размер эффекта техногенного загрязнения для травянистых растений на оstepненных и пойменных лугах в буферной (а) и импактной (б) зонах загрязнения. Горизонтальные линии – границы доверительного интервала.

рис. 3). Положительный эффект отмечен только на оstepненных лугах буферной зоны для грызущих фитофагов (и относящихся к группе длинноусых двукрылых-фитофагов) и сосущих зоофагов (и пауков); незначимая положительная тенденция – для цикадовых.

Таксономическая структура беспозвоночных. При анализе таксономической структуры различия между типами лугов были больше, чем между зонами загрязнения. На пойменных лугах сообщества фоновой и буферной зон были сходны, но отличались от сообществ импактной зоны. На оstepненных лугах более сходны были сообщества буферной и импактной зон, но отличались от сообществ фоновой (рис. 4).

ОБСУЖДЕНИЕ

Анализ индекса сухости SPEI не выявил выраженных погодных флуктуаций для рассматриваемой территории в 2014 г. Это позволяет расценивать полученные данные как “типовы” при описании состояния луговых сообществ.

Общая фитомасса травостоя в градиенте загрязнения на лугах обоих типов изменяется сходно, о чем свидетельствует отсутствие значимого взаимодействия факторов “тип луга” и “зона за-

грязнения”. Действительно, общая фитомасса и фитомасса граминидов сходны во всех зонах загрязнения КМЗ; фитомасса разнотравья вблизи завода снижена, а доля граминидов в общей фитомассе, наоборот, увеличена. При этом в импактной зоне на оstepненных лугах выражен отрицательный эффект загрязнения для общей фитомассы, а на пойменных – тенденция к увеличению фитомассы граминидов.

В динамике общего обилия беспозвоночных травостоя единый выраженный тренд отсутствует (все взаимодействия факторов “зона”, “тур” и “тип луга” значимы). Тем не менее с приближением к КМЗ общее обилие снижается: на пойменных лугах – уже в буферной зоне, на оstepненных – только в импактной. В буферной зоне на оstepненных лугах обилие ряда трофических (грызущих фитофагов и сосущих зоофагов) и таксономических (цикадовых, длинноусых двукрылых-фитофагов и пауков) групп увеличивается – единичные случаи положительного эффекта загрязнения. Изменения в таксономической структуре на пойменных лугах отмечены только в импактной зоне, на оstepненных – уже в буферной.

Изменения в травянистых фитоценозах в целом типичны для точечных источников загрязнения. Согласно результатам мета-анализа опубли-

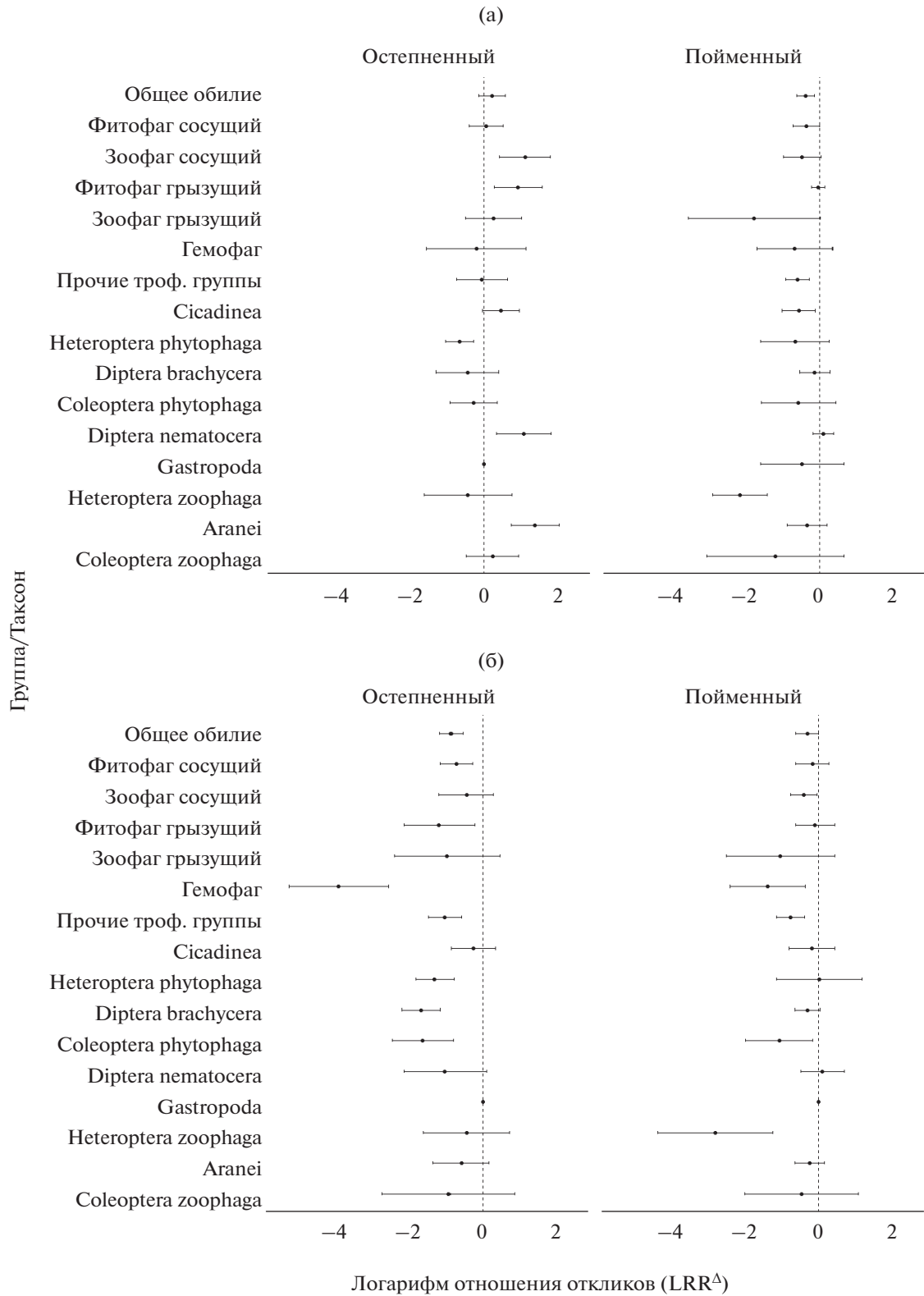


Рис. 3. Размер эффекта техногенного загрязнения для общего обилия, трофических и таксономических групп беспозвоночных травостоя на оstepненном и пойменном лугах в буферной (а) и импактной (б) зонах загрязнения. Горизонтальные линии – границы доверительного интервала.

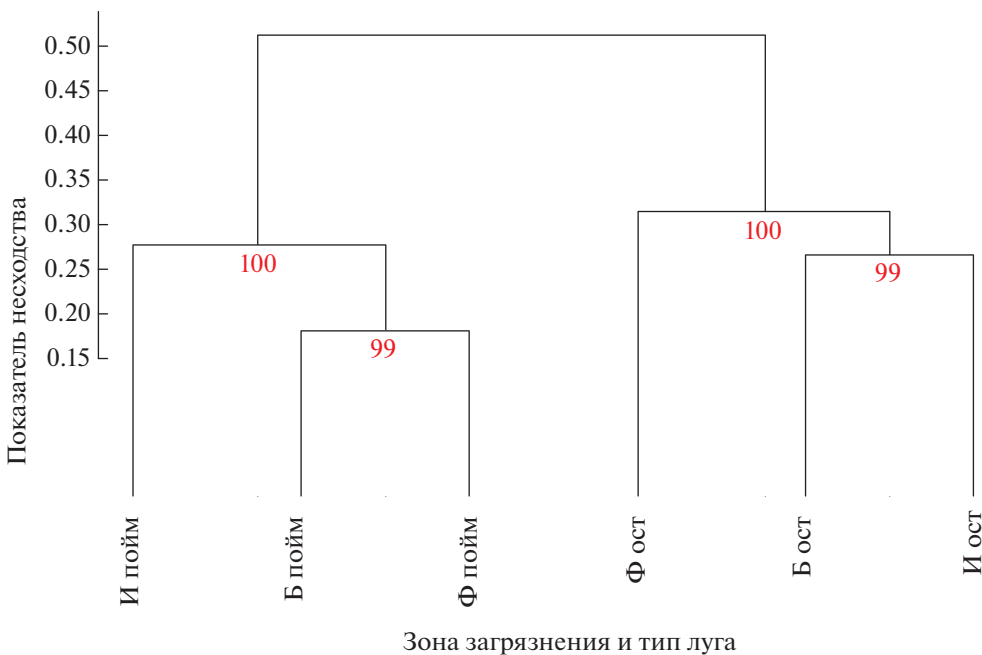


Рис. 4. Несходство (индекс Брея-Кертиса) таксономической структуры беспозвоночных травостоя в фоновой (Φ), буферной (Б) и импактной (И) зонах загрязнения на оステнном (ост) и пойменном (пойм) лугах. Цифры в основаниях ветвей дендрограммы – относительно несмешанные числа поддержки (AU, %). Кластеры с AU $\geq 95\%$ считают статистически значимыми.

кованных данных, общий эффект точечных источников загрязнения на фитомассу сосудистых растений негативный, однако варьирует в зависимости от яруса растительности и типа источника. Предприятия, деятельность которых приводит к закислению почв окружающих экосистем, оказывают наибольший негативный эффект на ярус травостоя за счет воздействия на разнотравье [31]. В зоне действия СУМЗа, относительно близкого географически и наиболее хорошо изученного источника загрязнения сходного типа, на вторичных суходольных лугах ситуация несколько отличается. Также отмечено снижение фитомассы разнотравья и увеличение доли граминоидов, но при этом уменьшение общей фитомассы и увеличение фитомассы граминоидов [2, 4]. Ранее, на этапе высоких выбросов СУМЗа, луговая фитомасса вблизи завода, напротив, была двукратно увеличена за счет граминоидов [32]. Таким образом, реакция общей фитомассы может быть связана с текущим уровнем активности источника загрязнения и потому не слишком информативна. Гораздо более устойчива реакция граминоидов, фитомасса которых увеличивается (на фоне снижения общей фитомассы) также и в травяном ярусе в составе лесных экосистем близ СУМЗа [33]. Доминирование граминоидов отмечено для луговых экосистем вблизи медеплавильного предприятия в Англии [34].

Тенденции, описанные для беспозвоночных травостоя в зоне действия КМЗ, отличаются от результатов мета-анализа [35], согласно которым общее обилие наземных беспозвоночных разных

ярусов растительности (но не почвообитающих) увеличено вблизи точечных источников, закисляющих почвы окружающих экосистем. Увеличение обилия происходит за счет как сосущих (Hemiptera), так и грызущих (Lepidoptera) фитофагов. Обилие зоофагов (в том числе пауков) снижено; двукрылые не проявляют выраженной тенденции [35]. В луговом травостое в зоне действия СУМЗа общее обилие вблизи завода также увеличено за счет сосущих фитофагов (в первую очередь цикадовых). Обилие всех прочих таксонов в импактной зоне снижено. Впрочем в буферной зоне грызущие фитофаги (а также длинноусые двукрылые) и сосущие зоофаги (а также пауки) демонстрируют относительно высокое обилие [2–4, 32], что сходно с ситуацией у КМЗ. Данные для других луговых сообществ в условиях загрязнения сходного типа нам не известны. Население лесных экосистем в импактной зоне СУМЗа, как правило, находится в угнетенном состоянии. В почвенной мезофауне елово-пихтовых лесов с приближением к заводу резко уменьшаются обилие и видовое богатство [36, 37]. Также снижение обилия отмечено для сообществ некробионтов [38], а обилия и видового богатства – для герпетобионтов: жужелиц [39] и паукообразных [40]. Вблизи завода снижена трофическая активность филлофагов бересклета [41].

Таким образом, специфика изменений сообществ беспозвоночных травостоя в градиенте загрязнения КМЗ заключается в основном в отсутствии увеличения обилия цикадовых (и, следовательно, общего обилия) в импактной зоне. Известно, что структура сообществ наземных бес-

позвоночных определяется составом и структурой связанных с ними растительных ассоциаций [6, 42, 43]. При этом токсический эффект в отношении разнообразия растений более чем в 2–3 раза превышает таковой для беспозвоночных [35]. Видимо, под действием загрязнения происходит элиминация чувствительных видов растений, в то время как устойчивые наращивают фитомассу. К числу последних относятся граминоиды, нередко преобладающие в импактных зонах металлургических предприятий [4, 33, 34] и интенсифицирующие рост под действием загрязнения [33, 44]. Некоторые граминоиды (например, *Agrostis capillaris* L. и *Deschampsia cespitosa*) относятся к псевдометаллофитам, обладающим генетическим потенциалом к формированию металл-толерантных популяций [45]. В результате в условиях загрязнения преимущество получают сосущие олигофаги (цикадовые и клопы), трофически связанные с граминоидами-псевдометаллофитами, способными задерживать металлы на уровне корневого барьера [46]. Причины отсутствия увеличения обилия цикадовых в импактной зоне КМЗ на данный момент не ясны. Предположительно это связано с отсутствием значимого увеличения фитомассы граминоидов. Также можно указать на сравнительно низкую долю граминоидов в травостое лугов импактной зоны КМЗ (53–85%; СУМЗ: 94–100%). Кроме того, низкое обилие цикадовых может быть следствием флюктуации, учитываемой только при многолетних исследованиях.

Сравнение двух типов лугов в градиенте загрязнения КМЗ демонстрирует общее сходство их реакции, хотя имеется ряд особенностей. Для фитоценозов это доля граминоидов, которая на пойменных лугах во всех зонах выше и с приближением к заводу возрастает более выраженно. Также на пойменных лугах в импактной зоне фитомасса разнотравья снижена значительно сильнее, чем на оstepненных. Можно предположить, что высокая первичная продуктивность, характерная для пойменных экосистем [47], в условиях загрязнения позволяет сильнее увеличить фитомассу металл-толерантным видам, получившим ресурсы элиминировавших видов. На оstepненных лугах высокая доля разнотравья в импактной зоне (почти 50%) может свидетельствовать о замещении чувствительных видов металл-толерантными представителями разнотравья, а не граминоидов. В ряде случаев для не относящихся к граминоидам растений описана резистентность к тяжелым металлам, способная обеспечить конкурентное преимущество в условиях дефицита влаги [48].

Для сообществ беспозвоночных в качестве особенностей можно указать высокое обилие пауков и длинноусых двукрылых-фитофагов на оstepненном лугу в буферной зоне. Кривые изменения обилия этих групп в градиенте загрязнения КМЗ имеют куполообразную форму, относитель-

но редко описываемую исследователями [35]. Однако при отсутствии многолетних данных судить о надежности наблюдаемой реакции невозможно. Отметим, что обе указанные группы также относительно обильны в буферной зоне СУМЗа, и это предположительно связано с особенностями питания [2, 4]. У длинноусых двукрылых-фитофагов ротовой аппарат грызущего типа, что обеспечивает увеличенное по сравнению с сосущими фитофагами поступление металлов [49]. У пауков сосущий ротовой аппарат позволяет избегать покровов тела, в которых аккумулируются некоторые металлы [50], однако общее поступление токсикантов у хищников может быть выше [51]. В результате рассматриваемые группы нередко многочисленны в буферной зоне, где по сравнению с импактной снижено загрязнение и увеличено разнообразие кормовых ресурсов (растений и потенциальных жертв), а по сравнению с фоновой снижен пресс хищников и конкурентов (в силу общего снижения разнообразия).

Необходимо отметить, что обилие беспозвоночных – достаточно вариабельный параметр структуры сообществ, и для его надежной оценки требуется сопоставление многолетних данных. Ввиду этого в настоящей работе приоритет следует отдать более консервативному параметру – таксономической структуре. Ее предварительный анализ в импактной зоне КМЗ продемонстрировал большее воздействие загрязнения на население оstepненных лугов по сравнению с пойменными.

ЗАКЛЮЧЕНИЕ

На материале 2014 г. исследована реакция сообществ пойменных и оstepненных лугов на выбросы Карабашского медеплавильного завода. С приближением к КМЗ негативные изменения отмечены в луговых сообществах обоих типов. В фитоценозах снижается фитомасса разнотравья и возрастает доля граминоидов. В сообществах беспозвоночных снижается общее обилие, хотя у трофических и большей части крупных таксономических групп обилие не меняется. Основная специфика изменений луговых экосистем в импактной зоне КМЗ заключается в отсутствии увеличения фитомассы граминоидов и обилия цикадовых (и, следовательно, общего обилия).

Сравнение двух типов лугов выявило определенные различия в их реакции на загрязнение. На пойменных лугах доля граминоидов во всех зонах выше и с приближением к заводу возрастает сильнее; изменения в таксономической структуре беспозвоночных происходят только в импактной зоне. На оstepненных лугах в импактной зоне сохраняется высокая доля разнотравья; изменения в таксономической структуре беспозвоночных отмечены уже в буферной зоне. Полученные данные частично подтверждают гипотезу о том, что в

сообществах пойменных лугов реакция на загрязнение выражена слабее, чем в остепненных.

Необходимо отметить, что в работе приведены предварительные данные, и для подтверждения сделанных выводов требуется обобщение многолетнего материала. Тем не менее отсутствие выраженных погодных флуктуаций в рассмотренный год позволяет надеяться на их относительную надежность, а нехватка опубликованных фактических данных по рассматриваемой тематике придает работе актуальность.

Работа выполнена как составная часть НИОКТР 122021000076-9 в рамках государственного задания Института экологии растений и животных УрО РАН. Авторы признательны П.Г. Пищулину (ИЭРиЖ УрО РАН) за предоставленные метеоданные, П.В. Кондраткову (УрФУ) – за определение фитомассы фракций травостоя, Е.Л. Воробейчуку и М.Р. Трубиной (ИЭРиЖ УрО РАН) – за ценные советы при обсуждении рукописи.

Авторы заявляют об отсутствии конфликта интересов. В процессе работы соблюдались применимые этические нормы.

ДОПОЛНИТЕЛЬНЫЕ МАТЕРИАЛЫ

Приложение доступно онлайн по адресу: <https://doi.org/10.31857/S0367059723060057>.

СПИСОК ЛИТЕРАТУРЫ

1. Чернов Ю.И., Руденская Л.В. Комплекс беспозвоночных – обитателей травостоя как ярус животного населения // Зоол. журн. 1975. Т. 54. Вып. 6. С. 884–894.
2. Нестерков А.В., Воробейчик Е.Л. Изменение структуры населения беспозвоночных-хортобионтов под действием выбросов медеплавильного завода // Экология. 2009. № 4. С. 303–313 [Nesterkov A.V., Vorobeichik E.L. Changes in the structure of chortobiont invertebrate community exposed to emissions from a copper smelter // Russ. J. Ecol. 2009. V. 40. № 4. P. 286–296.]
3. Золотарев М.П., Нестерков А.В. Паукообразные (Aranei, Opiliones) лугов: Реакция на загрязнение выбросами Среднеуральского медеплавильного комбината // Экология. 2015. № 1. С. 48–56. [Zolotarev M.P., Nesterkov A.V. Arachnids (Aranei, Opiliones) in meadows: Response to pollution with emissions from the Middle Ural Copper Smelter // Russ. J. Ecol. 2015. V. 46. № 1. P. 81–88.]
4. Нестерков А.В. Признаки восстановления сообществ беспозвоночных травостоя после снижения выбросов медеплавильного завода // Экология. 2022. № 6. Р. 468–478. [Nesterkov A.V. Recovery signs in grass-stand invertebrate communities after a decrease in copper-smelting emissions // Russ. J. Ecol. 2022. V. 53. № 6. P. 553–564.]
5. Hunter B.A., Johnson M.S., Thompson D.J. Ecotoxicology of copper and cadmium in a contaminated grassland ecosystem. II. Invertebrates // Journal of Applied Ecology. 1987. V. 24. № 2. P. 587–599.
6. Perner J., Voigt W., Bährmann R. et al. Responses of arthropods to plant diversity // Ecography. 2003. V. 26. № 6. P. 788–800.
7. Заключение экспертной комиссии по рассмотрению материалов оценки степени экологического неблагополучия окружающей среды и состояния здоровья населения и проекта Федеральной целевой программы первоочередных неотложных мер на 1996–2000 гг. по выводу территории г. Карабаша Челябинской области из состояния экологического бедствия и оздоровлению населения. <https://docs.cntd.ru/document/9035640>
8. Lightfoot D.C., Whitford W.G. Productivity of creosotebush foliage and associated canopy arthropods along a desert roadside // American Midland Naturalist. 1991. V. 125. P. 310–322.
9. D'Odorico P., Bhattachan A. Hydrologic variability in dryland regions // Philosophical Transactions of the Royal Society B: Biological Sciences. 2012. V. 367. P. 3145–3157.
10. Schowalter T.D., Lightfoot D., Whitford W. Diversity of arthropod responses to host-plant water stress in a desert ecosystem in southern New Mexico // American Midland Naturalist. 1999. V. 142. P. 281–290.
11. Zhu H., Wang D.L., Wang L. et al. Effects of altered precipitation on insect community composition and structure in a meadow steppe // Ecological Entomology. 2014. V. 39. № 4. P. 453–461.
12. Wenninger E.J., Inouye R.S. Insect community response to plant diversity and productivity in a sagebrush-steppe ecosystem // Journal of Arid Environments. 2008. V. 72. № 1. P. 24–33.
13. Warrington S., Whittaker J.B. Interactions between sitka spruce, the green spruce aphid, sulphur-dioxide pollution and drought // Environmental Pollution. 1990. V. 65. № 4. P. 363–370.
14. Burkhardt J., Pariyar S. Particulate pollutants are capable to ‘degrade’ epicuticular waxes and to decrease the drought tolerance of Scots pine (*Pinus sylvestris* L.) // Environmental Pollution. 2014. V. 184. P. 659–667.
15. Sediment dynamics and pollutant mobility in rivers. Berlin, Heidelberg: Springer-Verlag, 2007. 430 p.
16. Sivakumar S. Effects of metals on earthworm life cycles // Environmental Monitoring and Assessment. 2015. V. 187. № 8. P. 1–16.
17. Klok C., Kraak M.H.S. Living in highly dynamic polluted river floodplains, do contaminants contribute to population and community effects? // Science of the Total Environment. 2008. V. 406. № 3. P. 455–461.
18. Schipper A.M., Hendriks A.J., Ragas A.M.J. et al. Disentangling and ranking the influences of multiple environmental factors on plant and soil-dwelling arthropod assemblages in a river Rhine floodplain area // Hydrobiologia. 2014. V. 729. № 1. P. 133–142.
19. Purvis O.W., Chimonides P.J., Jones G.C. et al. Lichen biomonitoring near Karabash Smelter Town, Ural Mountains, Russia, one of the most polluted areas in the world // Proceedings of the Royal Society B: Biological Sciences. 2003. V. 271. P. 221–226.
20. Smorkalov I.A., Vorobeichik E.L. Does long-term industrial pollution affect the fine and coarse root mass in forests? // Water Air and Soil Pollution. 2022. V. 233. № 2. P. 55.
21. Нестерков А.В. Опыт использования биоценометра с вакуумным пробообразованием для учета беспозвоночных травостоя // Евразийский энтомологический журнал. 2014. Т. 13. № 3. С. 244–245.

22. R Core Team. R: a language and environment for statistical computing. <https://www.R-project.org/>.
23. Fox J., Weisberg S. An {R} companion to applied regression. <https://socialsciences.mcmaster.ca/jfox/Books/Companion/>.
24. Tremblay A., Ransijn J. LMERConvenienceFunctions: Model selection and post-hoc analysis for (G)LMER models. R package version 3.0. <https://CRAN.R-project.org/package=LMERConvenienceFunctions>.
25. Hothorn T., Bretz F., Westfall P. Simultaneous inference in general parametric models // Biometrical Journal. 2008. V. 50. № 3. P. 346–363.
26. Pustejovsky J.E., Chen M., Swan D.M. SingleCaseES: A calculator for single-case effect sizes. R package version 0.6.1. <https://CRAN.R-project.org/package=SingleCaseES>.
27. Begueria S., Vicente-Serrano S.M. SPEI: Calculation of the standardised precipitation-evapotranspiration index. R package version 1.7. <https://CRAN.R-project.org/package=SPEI>.
28. Расписание погоды. Информация о погодных условиях метеостанции г. Челябинск (синоптический индекс станции – 28630). <https://www.rp5.ru>.
29. Wickham H. ggplot2: Elegant graphics for data analysis. New York: Springer-Verlag, 2016. 260 p.
30. Suzuki R., Terada Y., Shimodaira H. pvclust: Hierarchical clustering with P-values via multiscale bootstrap resampling. R package version 2.2-0. <https://CRAN.R-project.org/package=pvclust>.
31. Zvereva E., Kozlov M. Changes in the abundance of vascular plants under the impact of industrial air pollution // Water Air and Soil Pollution. 2011. Online publication. P. 1–11.
32. Воробейчик Е.Л., Садыков О.Ф., Фарафонтов М.Г. Экологическое нормирование техногенных загрязнений наземных экосистем. Екатеринбург: Наука, 1994. 280 с.
33. Воробейчик Е.Л., Трубина М.Р., Хантемирова Е.В. и др. Многолетняя динамика лесной растительности в период сокращения выбросов медеплавильного завода // Экология. 2014. № 6. С. 448–458. [Vorobeichik E.L., Trubina M.R., Kvantemirova E.V. et al. Long-term dynamic of forest vegetation after reduction of copper smelter emissions // Russ. J. Ecol. 2014. V. 45. № 6. P. 498–507.]
34. Hunter B.A., Johnson M.S., Thompson D.J. Ecotoxicology of copper and cadmium in a contaminated grassland ecosystem. I. Soil and vegetation contamination // Journal of Applied Ecology. 1987. V. 24. № 2. P. 573–586.
35. Zvereva E., Kozlov M. Responses of terrestrial arthropods to air pollution // Environmental Science and Pollution Research. 2010. V. 17. № 2. P. 297–311.
36. Воробейчик Е.Л., Ермаков А.И., Золотарев М.П. и др. Изменение разнообразия почвенной мезофауны в градиенте промышленного загрязнения // Русский энтомологич. журн. 2012. № 21. С. 203–218.
37. Воробейчик Е.Л., Ермаков А.И., Гребенников М.Е. Начальные этапы восстановления сообществ почвенной мезофауны после сокращения выбросов медеплавильного завода // Экология. 2019. № 2. С. 133–148. [Vorobeichik E.L., Ermakov A.I., Grebenников М.Е. Initial stages of recovery of soil macrofauna communities after reduction of emissions from a copper smelter // Russ. J. Ecol. 2019. V. 50. № 2. P. 146–160.]
38. Ермаков А.И. Изменение комплекса некрофильных беспозвоночных под действием загрязнения выбросами Среднеуральского медеплавильного завода // Экология. 2013. № 6. С. 1–8. [Ermakov A.I. Changes in the assemblage of necrophilous invertebrates under the effect of pollution with emissions from the Middle Ural Copper Smelter // Russ. J. Ecol. 2013. V. 44. № 6. P. 515–522.]
39. Бельская Е.А., Зиновьев Е.В. Структура комплексов жужелиц (Coleoptera, Carabidae) в природных и техногенно-нарушенных лесных экосистемах на юго-западе Свердловской области // Сибирский экологич. журн. 2007. № 4. С. 533–543.
40. Золотарев М.П. Изменение таксономической структуры населения паукообразных-герпетобионтов в градиенте загрязнения от выбросов медеплавильного комбината // Экология. 2009. № 5. С. 378–382. [Zolotarev M.P. Changes in the taxonomic structure of herpetobiont arachnids along the gradient of pollution with emissions from a copper smelter // Russ. J. Ecol. 2009. V. 40. № 5. P. 356–360.]
41. Бельская Е.А. Динамика трофической активности филлофагов березы в период снижения атмосферных выбросов медеплавильного завода // Экология. 2018. № 1. С. 74–80. [Belskaya E. Dynamics of trophic activity of leaf-eating insects on birch during reduction of emissions from the Middle Ural Copper Smelter // Russ. J. Ecol. 2018. V. 49. № 1. P. 87–92.]
42. Haddad N.M., Crutsinger G.M., Gross K. et al. Plant species loss decreases arthropod diversity and shifts trophic structure // Ecology Letters. 2009. V. 12. № 10. P. 1029–1039.
43. Schaffers A.P., Raemakers I.P., Sýkora K.V. et al. Arthropod assemblages are best predicted by plant species composition // Ecology. 2008. V. 89. № 3. P. 782–794.
44. Dulya O.V., Mikryukov V.S., Hlystov I.A. Interspecific differences in determinants of plant distribution in industrially polluted areas // Plant and Soil. 2015. V. 394. № 1–2. P. 329–342.
45. Дуля О.В., Микрюков В.С., Воробейчик Е.Л. Стратегии адаптации *Deschampsia caespitosa* и *Lychnis flos-cuculi* к загрязнению тяжелыми металлами: Анализ на основе зависимости доза–эффект // Экология. 2013. № 4. С. 243–253. [Dulya O.V., Mikryukov V.S., Vorobeichik E.L. Strategies of adaptation to heavy metal pollution in *Deschampsia caespitosa* and *Lychnis flos-cuculi*: Analysis based on dose-response relationship // Russ. J. Ecol. 2013. V. 44. № 4. P. 271–281.]
46. Dahmani-Muller H., van Oort F., Gelie B. et al. Strategies of heavy metal uptake by three plant species growing near a metal smelter // Environmental Pollution. 2000. V. 109. № 2. P. 231–238.
47. Naiman R., Decamps H. The ecology of interfaces // Annual Review of Ecology and Systematics. 1997. V. 28. P. 621–658.
48. Wang S., Wei M., Cheng H. et al. Indigenous plant species and invasive alien species tend to diverge functionally under heavy metal pollution and drought stress // Ecotoxicology and Environmental Safety. 2020. V. 205. P. 111160.
49. Jhee E.M., Boyd R.S., Eubanks M.D. Nickel hyperaccumulation as an elemental defense of *Streptanthus polygaloides* (Brassicaceae) // New Phytologist. 2005. V. 168. № 2. P. 331–343.
50. Lindqvist L., Block M., Tjälve H. Distribution and excretion of Cd, Hg, methyl-Hg and Zn in the predatory beetle *Pterostichus niger* (Coleoptera: Carabidae) // Environmental Toxicology and Chemistry. 1995. V. 14. P. 1195–1201.
51. Vickerman D.B., Trumble J.T. Biotransfer of selenium // Ecotoxicology. 2003. V. 12. № 6. P. 497–504.